

اندازه‌گیری ثابت جفت شدگی چهار قطبی دوترون استیلینی توسط روش‌های نظری و تجربی

محمد رضا عجمی
مرکز تحقیقات طیف نکاری
سازمان انرژی اتمی ایران

چکیده

ثابت جفت شدگی چهار قطبی دوترون استیلینی در $-D_1-D_2-D_3-D_4$ می‌باشد که در محلول خالص و در محلول ۲۰٪ پک حلال بی‌اثر (C_6H_{12}) با استفاده هم‌زمان از توابع به دست آمده توسط روش‌های واهلش اسپینی - شبکه‌ای تشید مغناطیسی هسته ای (NMR) و تحلیل طیف رامان برای مذکوماً مقارن A_1 در 1983 cm^{-1} تعیین شده است. مقدار این ثابت در حلال بی‌اثر $4\text{ kHz} \pm 223$ است که بسیار بیشتر از مقادیر به دست آمده قبلی برای دوترون استیلینی در استیلین و نونانین است، ولی با نتیجه حاصل از محاسبات از آغاز (ab initio) که در آن از توابع پایه دابل زتا⁺ قطبی استفاده شده در توافق و سازگاری بسیار عالی و نزدیک است.

و دیگران مقدار Q_D مولکول CDCl_3 را در کبیکس‌های جامدی از مزیتین، استن و اتر تعیین کردند و نشان دادند که پایین آمدن Q_D از $166/9\text{ kHz}$ (برای CDCl_3 خالص) به ترتیب به $162/0$ ، $151/4$ و $149/1$ کیلوهرتز می‌تراند به علت قطبی شدن پیوند $C-D$ در اثر حلال و نتیجتاً تاثیر بارز آن بر گرادیان میدان الکترومغناطیسی (EFG) اطراف هسته دوتریوم باشد. در آزمایش‌های ترکیبی رامان و NMR این اثر حلال در مقدار Q_D به دست آمده برای محلول اثر حلال در مقدار Q_D در SiCl_4 در این حلال 20% از CDCl_3 در SiCl_4 باشد و این در حالی مورد تایید قرار گرفت [۱]. مقدار Q_D در این حلال بی‌اثر $4\text{ kHz} \pm 186$ است که بالاترین مقدار گزارش شده می‌باشد و این در حالی است که مقادیر Q_D گزارش شده در سه نوع حلال نماتیک در محدوده $157/8$ تا $170/5$ کیلوهرتز تغییر می‌کند. بنابراین، این امر بیش از پیش عیان می‌شود که برای دست یابی به یک تعییر روش از مطالعه واهلش‌های دوترون در

مقدمه

تبديل سرعت واهلش اسپینی - شبکه‌ای II مولکولهای آکی به پارامترهای حرکات مولکولی مستلزم معلوم بودن مقدار دقیق ثابت جفت شدگی چهار قطبی دوترون (Q_D)، در پیرند $C-D$ مولکولهای دوتره شده Q_D مختلف است [۱-۳]. متداولترین روش برای تعیین Q_D روشی است که در آن از اطلاعات طیفی به دست آمده توسط NMR برای مولکولهای دوتره شده در حلالهای بلور مایع (نوع نماتیک) استفاده می‌شود [۴]. اگر این روش با بهینه‌سازی‌های ریاضی، شامل میانگین‌گیری نوسانی برای فواید بین هسته‌ای و محاسبات اریتال مولکولی برای اندازه‌گیری پارامتر عدم تقارن (η)، در صورت انحراف پیوند $C-D$ از تقارن استوانه‌ای، Q_D همراه باشد در آن صورت می‌توان مقدار دقیق Q_D را محاسبه کرد. با وجود این در بسیاری اوقات دیده شده است که مقدار Q_D در مولکولهای قطبی بستگی زیادی با نوع حلال نماتیک^۱ دارد [۵-۷]. ریگل

«GAMES» استفاده شده و گرادیان میدان الکتروکی با استفاده از سیستم برنامه‌های «چند اتمی» (نوع II) محاسبه شده است. مقدار Q_D بر حسب kHz از رابطه زیر به دست می‌آید:

$$(1) \quad Q_D (\text{kHz}) = \text{efg} (\text{a.u.}) \times 672.0 \text{ kHz/a.u.}$$

$Q = 2/86 \times 10^{-3} b$ که مبنی بر مقدار گشتاور چهار قطبی در مقاله رید و وايدا [۱۲] است. دو مجموعه از توابع پایه قطبش مورد استفاده قرار گرفته است. مجموعه ۱ شامل یک تابع قطبش P در پروتون ($\alpha = 1/0.8$) و یک تابع قطبش d در کربن ($\alpha = 0/1.2$) است که با مقادیر استفاده شده توسط اشنايدر برای مولکول متیل فلوراید [۱۵] یکسان است. مجموعه ۲ شامل یک تابع قطبش p و یک تابع قطبش d در پروتون است ($\alpha_p = 0/0.88$ ، $\alpha_d = 0/0.5$) که از آنها اشنايدر برای مولکول هیدروژن [۱۶] استفاده کرده است، و نیز دو تابع قطبش d در کربن ($\alpha_d = 1/0.5$ و $\alpha_{d\prime} = 0/0.5$) که توسط نیومان و موسکرویتز [۱۷] برای مولکولهای کربن متواکسید و فرم آکدید به کار رفته است. در جدول ۱ نتایج Q_D برای دوترون استیلنی در مولکولهای استیلن و متیل استیلن آمده است.

با توجه به جدول معلوم می‌شود که بر اثر استفاده از توابع قطبش مقدار Q_D کاهش می‌یابد. اشنايدر [۱۰] هنگام بحث درمورد اثر توابع قطبش خاطر نشان کرد که اضافه کردن توابع قطبش p و d به دوترون، در مقایسه با اضافه کردن فقط توابع قطبش p به آن، منجر به توافق و نزدیکی بیشتر نتایج نظری و تجربی می‌شود. بنابراین استفاده از مجموعه ۲ باید نتایج بهتری را به دست دهد. با وجود این صرف نظر از آن که کدام مجموعه مورد استفاده قرار گرفته است، اثر استخلاف هیدروژن توسط یک متیل در مولکول استن فقط باعث افزایش کمی در مقدار Q_D می‌شود. محاسبات از آغاز با استفاده از توابع پایه دابل

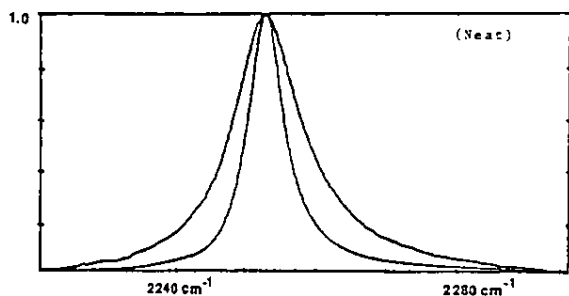
محلولها باید از محیط و یا حلالهای بی‌اثر استفاده کرد به طوری که هیچگونه برهمکنشی بین حلال و پیوند C-D مورد مطالعه وجود نداشته و یا این اثر حداقل باشد. روش مناسب و کارای دیگر جهت تعیین Q_D مربوط به انواع متفاوت پیوندها، محاسبات از آغاز برروی مولکولهای کوچک است که بعداً می‌توان این مقادیر را در ارتباط با مولکولهای بزرگتر نیز مورد بررسی قرار داد. هدف این مقاله مدل ساختن این نکته است که می‌توان با در نظر گرفتن توضیحات فوق مقدار Q_D را هم به طریق تجربی و هم به طریق نظری محاسبه کرد.

ثابت‌های جفت شدگی چهار قطبی دوترون به طریق نظری

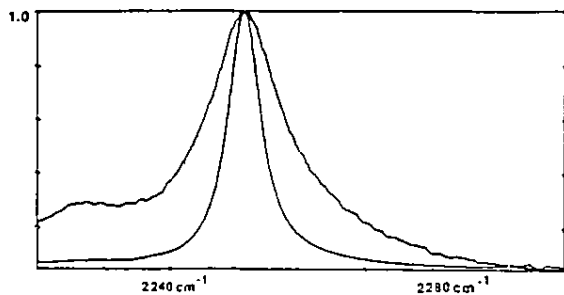
محاسبات Q_D در انواع مولکولهای کوچک با استفاده از توابع موج از آغاز در یک پایه «دابل زتا» توسط اشنايدر انجام شده است. به نظر اشنايدر مقادیر Q_D به دست آمده در حدود ۲۰٪ بیشتر از مقادیر شناخته شده تجربی است که با استفاده از تابع قطبش در بعضی مولکولها نتایج به دست آمده با نتایج تجربی سازگاری دارد. با وجود این در مورد دوترونهاست اشنايدر مقدار Q_D گزارش شده (به طریق نظری بدون استفاده از تابع قطبش) برای مولکول C_2D_2 توسط اشنايدر به مقدار ۲۵٪ بالاتر از مقادیر متناظر تجربی برای استیلن [۱۲] و [۱۱] و نوناین در بلورهای مایع است [۱۳]. با توجه به مطالب اخیر در این تحقیق نتیجه محاسبات از آغاز برروی استیلن و متیل استیلن با استفاده از توابع پایه دابل زتا به اضافه قطبش و نیز جهت مقایسه نتیجه همین محاسبات بدون استفاده از توابع پایه قطبش هم گزارش می‌شود. همگام با محاسبات فوق آزمایش‌های لازم رaman و NMR برای تعیین مقدار Q_D استیلن نیز انجام شده است. چون از همین طریق مقدار تجربی Q_D در مولکول $CDCl_3$ در حلال بی‌اثر نیز تعیین شده بود [۹] بنابراین، یک محاسبه نظری برای Q_D نیز برروی این مولکول انجام شد. در این محاسبه از برنامه

$$\frac{1}{T_1} = \frac{3}{2} \pi^2 Q_D^2 \tau_{\theta_1} \quad (2)$$

مقدار τ_{θ_1} با استفاده از شدت توزیع نسبی جزء واقطبیده یک نوارنوسانی - دورانی کاملاً متناظر رامان قابل محاسبه است (شکل‌های ۱ و ۲).



شکل ۱- طیفهای واقطبیده و قطبیده کاملاً متناظر رامان برای محلول خالص CDCl_3 در ناحیه 2253cm^{-1}



شکل ۲- طیفهای قطبیده و واقطبیده کاملاً متناظر رامان برای ملکول C_6H_{12} (20 درصد مولی) در حلال بی‌اثر

بنابراین، با اندازه‌گیری زمانهای واهلش اسپینی - شبکه‌ای (T_1) در دما و غلظت یکسان (دما آزمایش رامان) برای مولکولی که در شرایط فوق الذکر صدق کند می‌توان با استفاده از معادله (۲) مقدار Q_D را محاسبه کرد.

زنا درمورد کربن و پروتون و مجموعه توابع پایه برروی کلر، مقاله واپلارد [۱۹]. انجام شده است. اضافه کردن هر مجموعه از توابع قطبش فوق به کلروفرم نتایج واگرایی به دست می‌دهد. اضافه کردن یک تابع قطبش p به پروتون ($\alpha=0.88$) (مجموعه شماره ۲) موجب همگرایی در محاسبات می‌شود که نتیجه در جدول ۲ آمده است.

در این حالت اضافه کردن نتایج قطبش موجب کاهش مقدار Q_D می‌شود که در مقایسه با حالت استabilنی مقدار کاهش بسیار کمتر است. مقدار $Q_D = 18\text{kHz}$ دارای نزدیکی و سازگاری بسیار زیاد و حائز اهمیت با نتیجه به دست آمده تجربی $186 \pm 4\text{kHz}$ حاصل در حلال بی‌اثر است. محاسبات نظری گوردون [۲۱] مدلل ساخته بود که برای مولکولهای (در فاز گازی و یا مایع) حاوی یک هسته چهار قطبی واقع در یک محور تقارنی سه‌گانه $C_{\infty v}$ (و یا بالاتر از سه‌گانه)، اطلاعات به دست آمده درباره دینامیک تجدید سنتگیری مولکولی از طریق نوارهای قطبیده و واقطبیده رامان با نتایج حاصل از واهلشهای هسته‌ای چهارقطبی ارتباط مستقیم دارد. درمورد هر هسته اتم دوتربومی که در شرایط فرق صدق کند (در حالتهای حد پاریک شدگی فرین^۱ برای مولکولهای کوچک در محلولها $< 10^\circ\text{C}$ است) زمان واهلش اسپینی - شبکه‌ای (T_1) به طور معکوس با زمان همبستگی زاویه‌ای τ_{θ_1} برای سنتگیری محور اصلی تقارنی که دوتربون در آن قرار دارد متناسب است.

این رابطه با معادله زیر بیان می‌شود.

$$\frac{1}{T_1} = [12\pi^2(2I+3)/40I^2(2I-1)] Q_D^2 \tau_{\theta_1} \quad (2)$$

که پس از ساده کردن برای هسته دوتربوم ($I=1$) به این صورت ساده در می‌آید.

۱- Extreme Narrowing Limit

محمد رضا عسجdi. اندازه‌گیری ثابت جفت شدگی چهار قطبی دوترون استیلنی توسط روش‌های نظری و تجربی

جدول ۱- ثابت جفت شدگی چهار قطبی دوترون استیلنی به طریق نظری

kHz	Q_D	ثابت جفت شدگی چهار قطبی	مولکول
DZ+Set No.2	DZ+Set No.1	DZ	
۲۲۱	۲۴۵	۲۵۹	$\text{CH} \equiv \text{CD}$ (الف)
۲۲۴	۲۴۷	۲۶۱	$\text{CH}_\text{r}-\text{C} \equiv \text{CD}$ (ب)

(الف) طول پیوندها در مرجع [۱۰]

(ب) طول پیوندها در مرجع [۱۸]

جدول ۲- ثابت جفت شدگی چهار قطبی دوترون در دوتروکلروفرم به طریق نظری

DZ+Set No.3	DZ	مولکول
۱۸۷	۱۹۳	CDCl_r (الف)

(الف) طول پیوندها در مرجع [۲۰]

که در آن c سرعت نور و ω_{reor} تفاوت بین طبقه‌ای قطبیده و واقطبیده نیم عرض در نیم ارتفاع^۱ است. مقدار Q_D گزارش شده توسط این مولفان دارای عدم قطعیتهای نسبتاً زیادی است. تحقیق حاضر مدل‌می‌دارد که اضافه کردن روشهای دو روش اندازه‌گیری طیفی موجب کاهش آماری انحراف استاندارد می‌شود و عدم قطعیتهای فوق به مقدار زیادی کاهش می‌یابد [۹]. علاوه بر این در این تحقیق روش شد که استفاده از روش فوریه معکوس نتایج دقیق‌تری به دست

این رابطه بین Q_D ، $\tau_{\theta\perp}$ به طور تجربی توسط رایت [۲۲] و راجرز برای محاسبه Q_D مولکولهای CDCl_r و CDBr_r (محلولهای خالص) نیز مورد استفاده قرار گرفته است. آنها در تحقیق خود شکل خطوط طیفی رامان را از نوع لورنتس فرض کردند که به عبارت دیگر می‌توان توابع همبستگی را نمائی دانسته و بنابراین $\tau_{\theta\perp}$ از رابطه زیر قابل استخراج خواهد بود.

$$\tau_{\theta\perp} = \frac{1}{2\pi c \omega_{\text{reor}}} \quad (۲)$$

۱- Half Width at Half Height

تبدیل معکوس فوریه (F^{-1}) یک به هم پیچیدگی منجر به یک حاصل ضرب ساده از تبدیلهای معکوس در طرف راست معادله [۹] خواهد شد.

$$[F^{-1}(\langle V \rangle \langle R \rangle \langle S \rangle)] = F^{-1}[F(\langle V \rangle \langle S \rangle)] F^{-1}[F(\langle R \rangle)] \quad (10)$$

از ترکیب معادله فوق با معادلات (۵) و (۶) خواهیم داشت.

$$\langle R \rangle = F^{-1} I_{\text{aniso}} / F^{-1} I_{\text{iso}} \quad (11)$$

در معادله (۱۱) هیچ فرضی مبنی بر نوع و چگونگی شکل خط طیفی و یا تابعیت منحنی‌های به دست آمده نشده است و فقط انتگرال‌گیری عددی از سطح زیر منحنی‌ها مقدار زمان $\tau_{0,1}$ را به دست می‌دهد. مشکلات عملی همراه با این روش و روش حل آنها در مرجع [۹] آمده است. یک ترکیب دیگر که برای مطالعه و تحقیق انتخاب شده است ترکیب ۱, D, ۲, ۲ Dimethyl-1-butyne (CH₃)₂CC ≡ CD

است، این مولکول به این دلیل برای تخمین Q_D انتخاب شده است که حائز شرایط لازم است و نیز فرض شده است که گروههای متیل دارای قابلیت چرخش آزاد هستند. مولکول دوته نشده یک قله جنبی قوی رامان کاملًا متقارن A₁ را در ۲۱۰۹ cm⁻¹ را نشان می‌دهد [۲۳]. با جایگزینی II¹ به جای II² قله جنبی به ۱۹۸۳ cm⁻¹ منتقل می‌شود که در عین حال یک ناحیه کاملًا صاف در کل طیف است. همان طوری که گفته شد این قله کاملًا متقارن بوده و از نظر طیفی قابل تجزیه و تحلیل است. (شکل‌های ۳ و ۴).

می‌دهد. در این روش هیچگونه تابعیت خاص ریاضی، از قبیل شکل لورنسی خطوط طیفی و یا هر نوع دیگر، به تابع همبستگی جهت‌گیری مجدد و یا $\langle R \rangle$ نسبت داده نشده است. نظریه رامان در این مورد را می‌توان به طور خلاصه به صورت زیر بیان کرد. جزو با قسمت واقطبیده یک نوار قریباً فطیبدۀ رامان یک بهم پیچیدگی یا پیچش ناشی از مشارکت یک قسمت همسانگرد و مشارکت قسمت ناهمسانگرد در کل نوار است [۲۶]. با فرض عدم وجود هرگونه جفت شدگی نوسانی - دورانی می‌توان هریک از اجزا را به صورت ریاضی زیر بیان کرد.

$$I_{\text{iso}} = \int_{-\infty}^{\infty} dt \exp(i\omega t) \langle V \rangle \langle S \rangle \quad (5)$$

$$I_{\text{aniso}} = \int_{-\infty}^{\infty} dt \exp(i\omega t) \langle V \rangle \langle R \rangle \langle S \rangle \quad (6)$$

که در معادله اخیر $\langle V \rangle$ و $\langle R \rangle$ و $\langle S \rangle$ توابع همبستگی نوسانی، دورانی و شکاف می‌باشند. می‌توان روابط اخیر را به صورت تبدیلات فوریه به صورت زیر بازنویسی کرد.

$$I_{\text{iso}} = F(\langle V \rangle \langle S \rangle) \quad (7)$$

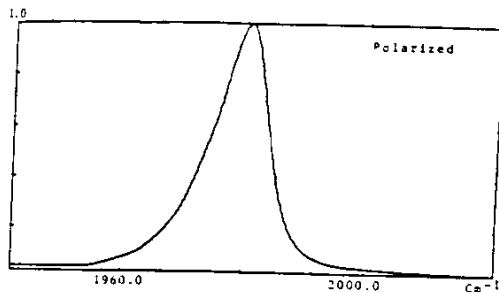
$$I_{\text{aniso}} = F(\langle V \rangle \langle R \rangle \langle S \rangle) \quad (8)$$

I_{iso} قسمت همسانگرد نوار رامان و I_{aniso} قسمت ناهمسانگرد نوار رامان هستند. چون کل این نوار مشکل از به هم پیچیدگی قسمتهای همسانگرد و ناهمسانگرد است، بنابراین:

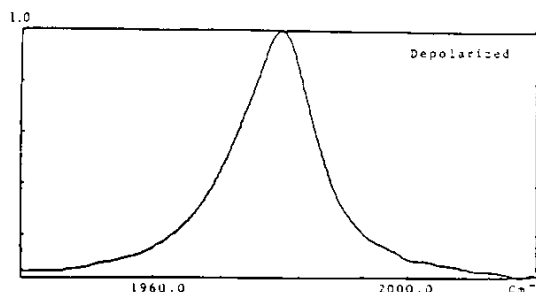
$$F(\langle V \rangle \langle R \rangle \langle S \rangle) = F(\langle V \rangle \langle S \rangle)^* F(\langle R \rangle) \quad (9)$$

۱- isotropic

۲- anisotropic



شکل ۴- طیف رامان واقعیتی

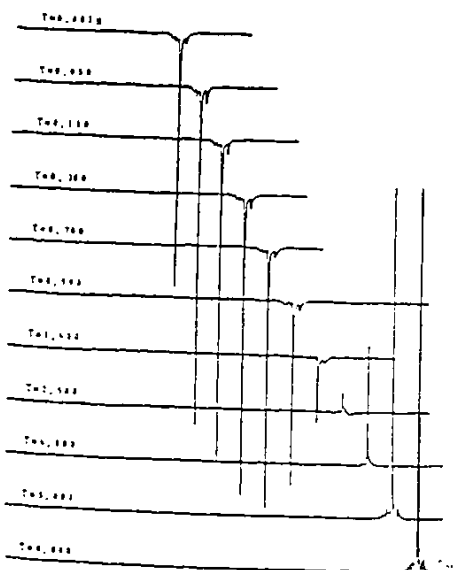


شکل ۳- طیف رامان واقعیتی

تجربیات و آزمایشها

الف- تهیه $\text{CD}(\text{CH}_3)_2\text{CC} \equiv \text{CD}$: ماده اولیه جهت سنتز $\text{CD}(\text{CH}_3)_2\text{CC} \equiv \text{CD}$ ترکیب دوتره نشده آن است که از شرکت آلدريچ خریداری شده است. سنتز ترکیب دوتره شده در دمای ازت مایع و با استفاده از آمونیاک، سدیم و D_2O انجام شد [۲۴ و ۲۵]. محصول به صورت جزء به جزء تقطری و خلوص آن توسط روش گاز کروماتوگرافی بیشتر از ۹۹٪ تعیین شد.

ب- NMR: محلولهای از $\text{CH}_3(\text{CH}_2)_2\text{CC} \equiv \text{CD}$ خالص و ۲۰٪ مولی از $\text{CD}(\text{CH}_2)_2\text{II} \equiv \text{CD/C}_2\text{H}_2\text{II} \equiv \text{CH}_3(\text{CH}_2)_2\text{CC} \equiv \text{CD}$ تهیه و پس از ریختن در ظروف شب استوانه‌ای مخصوص آزمایش‌های T_1 و تخلیه هرای آنها بسته شدند. دما در حین مدت آزمایش‌های تحت کنترل دقیق بود. اندازه‌گیریهای T_1 (توسط روش توالی بازیافت معکوس نسب $90^\circ - 2 - 180^\circ$) با دستگاه طیف سنج تشذید مغناطیسی هسته‌ای Jeol FX ۹۰ Q که با فرکانس ۱۳/۶۹ مگاهرتز در مد FT عمل می‌کرد انجام شد. برای هر نمونه ۱۱ مقدار متفاوت ۲ با ۲۰ روپیش برای هر یک انتخاب و ۲۰ اندازه‌گیری مجزا انجام شد. به این ترتیب محدوده آماری آزمایش به حداقل کاهش داده شد. در شکل (۵) یک نمونه از طیفهای به دست آمده برای یک بار محاسبه T_1 نشان داده شده است.



شکل ۵- یک نمونه از طیفهای به دست آمده در آزمایش اندازه‌گیری زمان واهلش اسپین-شیکمای T_1

ج- رامان: نمونه‌ها از همان نوع به کاررفته در آزمایش‌های NMR بود که در لوله‌های بسیار باریک (مویین) تزریق و بسته شدند. این لوله‌ها به صورت افقی در یک محفظه مکعب مستطیلی کوارتز گذاشته شدند و با سازوکاری که برای ثابت نگاهداشتن دمای

برای بررسی اثرهای تغییرات دما، یک تابع همبستگی ناهمسانگرد (که تحت تاثیر دما قرار می‌گیرد) برای هر نمونه مورد نظر در توانهای متفاوتی از لیزر بین ۲۵۰ تا ۹۰۰ میلیوات تولید می‌کنیم. تغییرات در سطوح زیر منحنی‌های این توابع پس از مطالعه و محاسبه حداقل بیش از ۲ درصد نبود. تمام طیفها در یک شکاف طیفی^۱ ۱/۶۴ cm به دست آمده‌اند. دقت در انتخاب صحیح عرض شکاف موجب حذف خطای دستگاهی از طیفهای به دست آمده می‌شود. تعداد دفعات رویش برای نوارهای قطیبه ۵ بار و برای نوارهای واقطیبه ۱۵ بار برای محلول خالص و ۲۰ بار برای محلول رقیق شده توسط حلal بوده است.

بحث و نتیجه‌گیری

نتایج به دست آمده در مورد زمانهای سمت‌گیری مجدد و واهلش دوترون براي محلول خالص ۱-D-۳,۳ Dimethyl-1-Butyne و نیز محلول ۲۰٪ مولی آن در سیکلوهگزان در جدول ۳ آمده است.

مورد نظر تعییه شده بود تحت تابش خط آبی ۴۸۸۰ Å یک لیزر یونی آرگن (مدل ۱۶۵ ساخت اسپکتروفیزیک) قرار گرفتند. نور پراکنده شده توسط قطعات اپتیکی لازم جمع‌آوری و توسط شکاف ورودی یک طفسنج^۱، با مشخصه توری تمام نگاری g/mm ۱۸۰۰ کاتونی شدند. تابش پراکنده شده در محل شکاف ورودی از نقطه‌نظر خاصیت قطبیت آزمایش شد و سپس قبل از ورود به تکفام‌ساز تابش عمل scrambling فرار گرفت. تکفام‌ساز مجهز به یک لامپ افزوونگر فوتونی (RCA ۳۱۰۴۰۲) است که در مد شمارش فوتونها کارمی‌کند. این لامپ همراه با یک تقویت کننده جداساز است که خروجی آن به یک نورسنج رقمی (SPEX DPC-۲) هدایت و تغذیه می‌شود. یک سیستم کامپیوترا داده‌های زمان حقیقی را از نورسنج رقمی دریافت می‌کند و بنابراین هر طیف به صورت معجزا ذخیره می‌شود. سیستم دارای قابلیت چند رویش^۱ است که نسبت سیگنال به نویه را افزایش می‌دهد، در این حالت به دست آوردن طف واقطیبه که دارای شدت کمتری است بسیار کارا است.

جدول ۳- زمانهای τ_{θ} (سمت‌گیری مجدد) و زمانهای واهلش اسپینی - شبکه‌ای دوترون، 26°C و ثابت جفت شدگی چهار قطبی در T_b

Q_D (kHz)	T_b (s)	$\tau_{\theta \perp}$ (p.s)	حال
223 ± 3	$0/94 \pm 0/01$	$1/45 \pm 0/030$	خالص
223 ± 4	$0/73 \pm 0/01$	$1/70 \pm 0/040$	۲۰٪ مولی در سیکلوهگزان

۱- Double Monochromator Spex 1403

۲- Multiscan

پایه مجموعه ۲) کاملاً" سازگارند. به طور مشابه همان طوری که قبلاً هم مذکور شدیم نتایج تجربی و نظری به دست آمده برای Q_D در مورد کلروفرم در حلال بی‌اثر نیز بسیار نزدیک به یکدیگرند. منوان چنین گفت که با دستیابی به روش‌های محاسبات نظری دقیق‌تر از طرفی و در عین حال حذف اثرهای حلال در تعیین مقدار تجربی Q_D از طرف دیگر، نتایج نظری و تجربی منطبق می‌شوند [۳۴]. محاسبات و تجربیات در تعیین مقدار Q_D از طرف دیگر نقش مهم خویش را در مطالعه دینامیک غشاها بیولوژیکی به طریق NMR، آشکار می‌سازند [۲۸ و ۳۳]. با استفاده از استخلاف ^{1}H به جای پروتونهای موجود در زنجیره هیدروکربنی غشاها بیولوژیکی حرکات دیواره‌های سلولی و به عبارتی دینامیک ارگانیزم‌های حیات قابل مطالعه و بررسی خواهند بود. امروزه NMR به صورت یکی از مهم‌ترین روش‌ها در مطالعه سیستمهای بیولوژیکی درآمده است. در صورت توفیق مقالات بعدی را به این زمینه مهم تحقیقاتی اختصاص خراهم داد.

هر T_1 حاصل میانگین ۱۸ اندازه‌گیری و هر τ_{01} ۱۹ اندازه‌گیری مجزا است. مقدار Q_D محاسبه شده از نتایج T_1 و τ_{01} در جدول ۳ نیز آمده است. مشابه با نتایج حاصل برای کلروفرم، مقدار Q_D استیلن (پیوند sp) به دست آمده برای محلول خالص کمتر از همان مقدار در محلول ۲۰٪ مولی آن است. مقدار به دست آمده در سیکلوهگزان بین ۱۰٪ تا ۱۵٪ بیشتر از مقدار متاظر حاصل برای استیلن و نوناین در حللهای بلور مایع است. مقایسه مقادیر Q_D برای استیلن [۱۲]، نوناین [۱۲] در یک بلور مایع حاکی از آن است که استخلاف هیدروکربنی در استیلن تاثیر چندانی در گرادیان میدان الکتریکی اطراف دوترون نداشته است. نتایج محاسبات نظری بر روی استیلن و پروپاین می‌تواند نمایانگر مقادیر Q_D به طور کلی در تمام هیدروکربنهای استخلاف نشده استیلنی و مخصوصاً "dimethyl-1-butyne ۳-۳" باشد. نتیجه تجربی به دست آمده 4 ± 223 kHz برای مولکول فرق با نتیجه حاصل از محاسبات نظری (با استفاده از ترابع

Reference

1. A. Abragam, *The Principles of Nuclear Magnetism* (Oxford, New York, 1961).
2. D. E. Woessner, *J. Chem. Phys.* 37, 647 (1962).
3. W. T. Huntress, Jr., *J. Chem. phys.* 48, 3524 (1968).
4. J. M. Emsley and J. C. Lindon, *NMR Spectroscopy Using Liquid Crystal Solvents* (Pergamon, New York, 1975).
5. G. C. Lickfield, J. F. McKenna, A. L. Beyerlein, and G. B. Savitsky, *J. Magn. Reson.* 51, 301 (1983).
6. G. C. Lickfield, S. E. Emery, R. V. Gregory, T. C. Chen, A. L. Beyerlein, and G. B. Savitsky, *J. Magn. Reson.* 54, 305 (1983).
7. J. Jokisaari, P. Dichl, J. Amrein, and E. Ijas, *J. Magn. Reson.* 52, 193 (1983).
8. G. L. Ragle, G. Minott, and M. Mokarram, *J. Chem. Phys.* 60, 3184 (1974).
9. R. V. Gregory, M. R. Asdjodi, H. G. Spencer, A. L. Beyerlein, and G. B. Savitsky, *J. Chem. Phys.* 81, 4790 (1984).
10. L. C. Snyder, *J. Chem. Phys.* 68, 291 (1978).
11. F. S. Millet and B. P. Dailey, *J. Chem. Phys.* 56, 3249 (1972).
12. E. Emery, G. C. Lickfield, A. L. Beyerlein, and G. B. Savitsky, *J. Magn. Reson.* 56, 323 (1984).
13. J. F. McKenna, K. Seidman, A. L. Beyerlein, and G. B. Savitsky, *J. Magn. Reson.* 29, 181 (1980).
14. R. V. Reid, Jr. and M. L. Vaida, *Phys. Rev. A* 7, 1841 (1973).
15. L. C. Snyder, *J. Chem. Phys.* 68, 340 (1978).
16. L. C. Snyder, *J. Chem. Phys.* 61, 5032 (1974).
17. D. B. Neumann and J. W. Moskowitz, *J. Chem. Phys.* 50, 2216 (1969).
18. C. C. Costain, *J. Chem. Phys.* 29, 864 (1958).
19. A. Veillard, *Theoret. Chim. Acta (Berlin)* 12, 405 (1968).
20. M. Jen and D. R. Lide, Jr., *J. Chem. Phys.* 36, 2525 (1962).
21. R. G. Gordon, *J. Chem. Phys.* 42, 3658 (1965).
22. A. Wright and M. T. Rogers, *J. Chem. Phys.* 63, 909 (1975).
23. F. F. Cleveland and M. J. Murray, Research Publications, Illinois Institute of Technology, *Molecular Spectra II*, 6 (No. 1), 34 (1984).
24. A. Murray III and D. L. Williams, *Organic Synthesis with Isotopes, Part II* (Interscience, New York, 1958), P. 1434.
25. B. S. Rabinovitch and F. Slooney, *J. Am. Chem. Soc.* 74, 2652 (1953).
26. F. J. Bartoli and T. A. Litovitz, *J. Chem. Phys.* 56, 404 (1972).
27. I. Laulicht and S. Meirman, *J. Chem. Phys.* 59, 2521 (1973).

28. Molecular Motions of Phospholipid Bilayers from ^2H NMR: Influence of Cholesterol on the Angular Anisotropy of Spectral Densities. Theodore P. Trouard, Todd M. Alam, Jaroslav Zajicek, M. Reza Asdjodi, and Michael F. Brown; Biophysical Journal, American Society for Biochemistry and Molecular Biology in press.
29. Deuterium NMR Spin Relaxation in Phospholipid Bilayers: A Theoretical Interpretation. Jaroslav Zajicek, Todd M. Alam, Theodore P. Trouard, Robin L. Thurmond, M. Reza Asdjodi, Constantin Job, and Michael F. Brown; Biophysical Journal, in Press.
30. Rotating Frame Spin-Lattice relaxation of Deuterium. Study of Intermediate Molecular Motions in Lipid Membranes. M.R. Asdjodi, M.F. Brown, (1992).
31. Advances in High Power, Solid State Deuterium NMR Probes, Design and Construction. M. Reza Asdjodi, Constantin Job, unpublished work (1992).
32. Advances in High Power, Solid State Phosphorus- Deuterium Double tuned NMR Probes, M. Reza, Asdjodi, Philip Settle, Constantin Job; Journal of Magnetic Resonance, in Preparation.
33. Deuterium NMR Spectroscopy as a Tool for Investigation of Liquid Crystalline Materials, M.F. Brown, M.I. Altbach, M.R. Asdjodi, J.A. Barri, M. Jansson, K. Rajamoorthi, R.L. Thurmond, and T.P. Trouard; Submitted for Materials Characterization Symposium, Department of Chemistry, University of Arizona, March (1990).
34. Theoretical and Experimental Estimates of the Acetylenic Deuteron Quadrupole Coupling Constant, M.R. Asdjodi, R.V. Gregory, G.C. Lickfield, H.G. Spencer, J.W. Huffman, and G.B. Savitsky; Journal of Chemical Physics, 86(4), 15 February (1987).

**NUCLEAR MAGNETIC RESONANCE AND RAMAN SPECTROSCOPIES IN
MOLECULAR DYNAMICS. DETERMINATION OF
 ^2H QUADRUPOLE COUPLING CONSTANT**

M.R. Asdjodi
Spectroscopy Research Center
Atomic Energy Organization of Iran

Abstract

The Acetylenic deuteron quadrupole coupling constant in 1-D-3,3-dimethyl-1-butyne was determined in neat liquid and in 20% mol solution in an inert solvent (C_6H_{12}), by combinig NMR relaxation data with raman line shape analysis of the totally symmetric A_1 mode at 1983cm^{-1} . The value in the inert solvent was found to be 233 ± 4 kHz, which is significantly higher than previously found value for acetylenic deuteron in acetylene and nonyne, but is in excellent agreement with *ab initio* calculation which was performed using " double zeta plus polarization " basis function on smaller model molecules.

